

苏联 德·伊·奥罗契柯著

液体燃料綜合過程 理論基礎

下 册

石油工業出版社

內容提要

本書接上冊敘述了人造液体燃料生產方面諸化學過程的控制原則。書中介紹了反應設備的熱交換流程，熱載劑及冷卻劑的採用，反應設備的結構特点及流程，反應設備的操作效率；還特別着重地闡述雙分子反應、可逆反應及複雜反應的控制以及切換-循環過程反應設備的操作。本書供石油工業設計機構的工程師、技術員、高等學校的師生及科學工作者應用，也可供有關反應設備和化學動力學方面的工程技術人員參考。

Д. И. ОРОЧКО

ТЕОРЕТИЧЕСКИЕ ОСНОВЫ ВЕДЕНИЯ
СИНТЕЗОВ ЖИДКИХ ТОПЛИВ

根據蘇聯國立石油燃料科技書籍出版社

1951年列寧格勒版翻譯

統一書號：15037·33

液体燃料綜合過程理論基礎

下冊

施 俠譯 楊光華校訂

*

石油工業出版社出版 (地址：北京六鋪炕石油工業部十号楼)

北京市書刊出版業營業登記證出字第083号

北京市印刷一廠排印 新華書店發行

*

850×1169½开本 * 印張8½ * 163千字 * 印1—3,100册

1956年7月北京第1版第1次印刷

定价(10)1.50元

目 錄

第二篇 反應設備的熱工特性及其構造特性

| | |
|----------------------------------|-----|
| 第三章 反應設備中之換熱方案、冷卻劑及熱載體 | 279 |
| § 1. 對熱載體的要求 | 279 |
| § 2. 反應設備中採用的換熱原則 | 279 |
| 1. 直流式反應器中換熱方案及換熱條件之特點 | 279 |
| 2. 反應區內的連續換熱 | 285 |
| 3. 固態熱載體之應用 | 286 |
| 4. 反應設備中之分段換熱 | 292 |
| 5. 混合式熱載劑 | 294 |
| § 3. 選擇換熱方案及熱載體的基本原則 | 300 |
| 第四章 反應設備的式樣及其構造特性 | 301 |
| § 1. 反應設備的構造分類 | 301 |
| § 2. 關於評價反應設備構造的原則 | 311 |
| § 3. 絶熱式反應器 | 312 |
| 1. 無內保護層的單層構造 | 312 |
| 2. 具有內保護層的反應器以及多層式反應器的結構 | 321 |
| § 4. 多變反應器 | 324 |
| 1. 用階式(分段)換熱的系統 | 324 |
| 2. 連續換熱之反應設備 | 325 |
| § 5. 切換-循環過程反應器及使用固態熱載體的反應器的特殊構造 | 337 |
| § 6. 關於合理地增高設備中壓力的問題 | 340 |
| § 7. 反應塔結構的一般評價 | 346 |
| 第三篇 工業過程的控制原則 | |
| 第五章 反應設備的工作效率 | 349 |
| § 1. 關於評價反應設備工藝效率的標準問題 | 349 |

| | |
|-------------------------------------|-----|
| § 2. 放热过程反应设备的工作效率 | 351 |
| 1. 均相及非均相催化过程 | 351 |
| 2. 絶热式反应设备 | 352 |
| 3. 使用階式控制的多变操作法 | 361 |
| 4. 反应区内連續換热的多变设备 | 373 |
| 5. 复雜多变系統 | 387 |
| 6. 高度放热变化的特征 | 391 |
| § 3. 吸热过程反应设备的操作效率 | 394 |
| 1. 吸热反应的主要特点 | 394 |
| 2. 絶热系統 | 395 |
| 3. 均相过程中絶热塔之操作 | 398 |
| 4. 多段式多变系統 | 402 |
| 5. 催化过程連續換热式多变系統 | 405 |
| 6. 热变化所用的多变设备 | 408 |
| 7. 热过程的复雜多变系統 | 423 |
| 8. 使用固体热载体的多变设备 | 428 |
| § 4. 双分子过程、可逆过程以及复雜過程的控制 | 434 |
| 1. 在双分子过程中原料濃度間的比例問題 | 434 |
| 2. 可逆過程的补充条件 | 436 |
| 3. 操作条件对复雜過程目的產物間比例的影响 | 437 |
| 4. 關於未轉变原料的循环問題 | 442 |
| § 5. 關於循环-切換过程反应设备的操作 | 444 |
| 1. 交替諸過程的結合及其控制原則 | 444 |
| 2. 催化剂再生的特点 | 449 |
| 3. 新式工業化循环-切換過程的主要特性 | 453 |
| § 6. 多相過程的反应设备 | 457 |
| § 7. 關於不同条件下各式反应设备的適用問題 | 468 |
| 1. 關於工業上应用控制過程的各种方法的可能性 問題 | 468 |
| 2. 具有不同机理諸過程的反应器 | 470 |

| | | |
|------------|------------------------------|-----------|
| 第六章 | 關於反應設備的式樣及其控制原則的選用 | |
| 問題 | | 472 |
| § 1. | 關於選定反應設備的式樣及其計算所需的最少原 始資料 | 472 |
| § 2. | 實驗數據的可用性以及過渡系數 | 474 |
| § 3. | 關於催化劑的活性及穩定性的測定 | 477 |
| § 4. | 關於反應設備的結構以及原理流程的選擇問題 | 480 |
| § 5. | 關於計算複雜反應設備的某些特點 | 484 |
| 結論 | | 487 |
| 符號、特殊記號及標號 | | 490 |
| 文獻 | | 497 |

第二篇 反應設備的熱工特性 及其構造特性

第三章 反應設備中之換熱方案、冷 却劑及熱載體

§ 1. 對熱載劑的要求

用以調節反應設備中溫度條件的冷卻劑及熱載體，首先應在過程操作條件下，化學上是完全穩定的，不產生積沉物，不引起設備的腐蝕且易於沿管線輸送。除此之外，它們應具有高的比熱，當其在沸騰狀態下應用時，則應具備大的汽化潛熱。

因此，用作低溫過程的熱載劑，可為未達沸騰狀態的各種液體、凝縮蒸汽及其他物質。在 260—360°C 之中溫作業中，可採用化學上最穩定的化合物（在較高的壓力下操作）。在更為嚴厲的條件下（即 $t > 350^\circ\text{C}$ ），採用惰性氣體，其中包括烟道氣、熔鹽及固態熱載體。表 19 中列有應用最廣的熱載劑及其性質與應用條件。

在熱效應較小的放熱變化中，常採用原料混合物或某一反應組分以排除釋出的熱量。

此处不去列述此種冷卻劑，因為為此必須討論許多種不同的過程，但應指出，有一種方案是採用混合式換熱法，冷卻組分分批導入以同時使反應向我們所希望的方向進行（見第二章 §6 之 4）。

§ 2. 反應設備中採用的換熱原則

1. 直流式反應器中換熱方案及換熱條件之特點

在討論用以控制過程條件的某些熱載劑是否適用問題以

前，應該先決定反應區內許可的溫度波動範圍，並選定與反應混合物進行換熱的方案。

反應系統中之主要冷卻劑及熱載體

表 19

| 熱載劑之名稱 | 反應器中操作溫度 之許可極限， $^{\circ}\text{C}$ | 在循環熱載劑系統 中壓力之許可極限 絕對壓力 |
|---|---------------------------------------|------------------------------|
| 氨 | 自-35至+10 | 真空或5以下 |
| 丙烷 | 自-10至+10 | 2.2—6.0 |
| 異丁烷 | 自1至+10 | 2.4—3.1 |
| 水及飽和水蒸汽 | 自30至232 | 1—32 |
| 瓦斯油(得自含臘石油) | 自200至300 | 1 |
| 聯苯[284] | 260—350 | 1—6 |
| 氯仿[284] | 260—350 | 1—5.5 |
| 陀烏森爾米特“A”：75%二苯 醚及25%聯苯[284,285,286] | 260—350 | 1—5.5 |
| 矽酸鈦C-701[287] | 320及以上 | 1.0及以上 |
| 水銀① | 320—500 | 自1至5.7 |
| 熔鹽HTS:40% NaNO_2 , 7% NaNO_3 及53% KNO_3 [288] | 143—540② | 1 |
| 烟道氣 | 420—1000③ | 1 |
| 熔融鋁鉛或矽酸鋁 | 不限(1500以下) | 4.5以下 |
| 催化劑-熱載體(矽酸鋁或其他) | 400—580及以上 | 1.5—30 |

如前所述，在工業實踐中應用二種原則上不同的換熱方法：

(1)連續式，直接在反應區中換熱；

(2)分段式，在特設之段間管式換熱器中，或採用與熱載

①工業上不將水銀用作熱載體；只有在極其特殊的場合下才採用之。

②極限溫度540 $^{\circ}\text{C}$ 系根據文獻記載的數據[288]；實際上採用熔鹽時，其受熱溫度不超過480—500 $^{\circ}\text{C}$ 。

③當操作溫度在520—1000 $^{\circ}\text{C}$ 之範圍內時，必須採用耐熱合金；在420—520 $^{\circ}\text{C}$ 間可用低合金鋼；作業在420 $^{\circ}\text{C}$ 以下時可用碳鋼。

剂相混的方法間歇地排除或導入热量。

为闡明起見，表20中列有应用最廣的發动机燃料綜合过程中換热設備的特性及其操作条件。

反应区内温度呈曲綫分佈，而温度自一种数值轉为另一种数值时比較平穩，这是連續換热的 特征。在分段式 换热 方案中，温度的改变永远具有折綫特性，沿反应混合物的流动 方向，其波动的振幅單調地漸次变小。

几乎所有过程的速度顯著不均，反应物沿途所釋出或吸收的热量也顯著不均，因此很难實現反应区内之理想換热，所以在大多数場合下，不可避免地温度的改变呈曲綫形狀。

圖 69 及圖 70 列有烯烃加氢过程及环烷基汽油臨氢改質过程現有关系的实例。在最簡單的場合下，釋出的或吸收的反应热与所达之轉变率成正比例(圖 69)。在平行及順次反应中，关系便趋复雜，而在轉变率最高的反应区中甚至反应热自負值

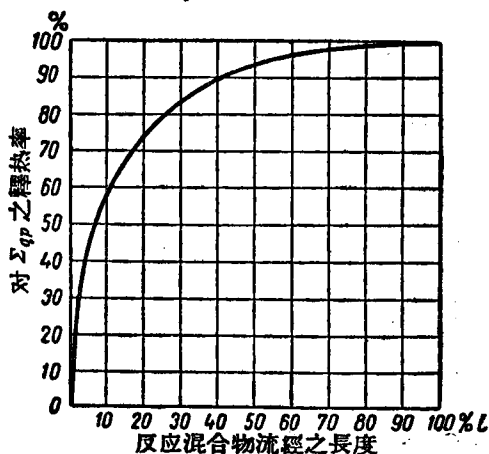


圖 69 汽油(含烯烃93.5%)加氢时釋出的热量

注：過程以(2.1.60)式表示，其 $\beta=1$ ； $y_0=0.065$ ，規定轉变率 $y=0.986$ 。曲綫繪制时 $t=\text{常数}$ 。

各 种 过 程 反 应 設

| 序 号 № | 过 程 名 程 | 每單位轉变原料之热效 应, 千卡/公斤 |
|-------------|----------------------------------|------------------------|
| 1 | 2 | 3 |
| (一) 热过程 | | |
| 1 | 高压下瓦斯油之热裂化 | 自-70至-250 |
| 2 | 里格罗因的改質 | — |
| 3 | 煤油餾分之高温热解 | 自-400至-500 |
| 4 | 異丁烷之氫化(新己烷之合成) | — |
| 5 | 烯烃之聚合 | +550以下 |
| (二) 催化过程 | | |
| 6 | 烏特利式催化裂化(固定床): (1)运转 (2)再生 | 自-50至-130 +8000 |
| 7 | TCC式催化裂化: (1)反应器 (2)再生器 | 自-50至-130 +8000 |
| 8 | 流化床催化裂化: (1)反应器 (2)再生器 | 自-50至-130 +8000 |
| 9 | 臨氫改質及 DHD: (1)运转 (2)再生 | 自-60至-180 +8000 |
| 10 | 正丁烷脱氢成丁二烯 | -1000 |
| 11 | 烯烃之非选择性聚合 | 約+550 |
| 12 | 異丁烯之选择性聚合 | 約+500 |
| 13 | 異辛烯之加氢 | +245以下 |
| 14 | 苯与丙烯之氫化 | — |
| 15 | 異丁烷与烯烃之氫化 | 約+250 |
| 16 | 乙醇之硫酸合成(制造羟基硫酸酯) | — |
| 17 | 甲烷之轉化 | — |
| 18 | CO之轉化 | — |
| 19 | 自 CO 及 H ₂ 合成烴类 | +3000③ |
| 20 | 甲醇及異丁醇之合成 | — |
| 21 | 石油基瓦斯油气相破坏加氢 | +200 |
| 22 | 煤油液相破坏加氢 | +450 |
| 23 | 石油基殘油之液相破坏加氢 | 自+90至+150 |

①正号(+)表示常采用的方法，而負号(-)表示那些不用的方法。

②括号中者为不常应用的方法及輔助的方法，此种輔助的方法与本过程其他

③第3縱列第19号中所列之反应热效应系以1公尺³原料气在0°C及760公厘

备中之换热方法

表 20

| 过程条件 | | 换热方法 | | | |
|--------------|------------------|------------|---------------|------------|------------------|
| 最高操作温度 °C | 最高操作 压力 表压 | 連續式 | | 分段式 | |
| | | 穿过金属 表面 | 与固态热载 体相接触 | 穿过金属 表面 | 与原料混合物 之组分混合 |
| 4 | 5 | 6 | 7 | 8 | 9 |
| 510—530 | 60—30 | +① | -① | - | (+) ^② |
| 560 | 60 | + | - | - | - |
| 650—700 | 0 | + | + | - | (+) |
| 550 | 350 | + | - | - | + |
| 510以下 | 自50至100 | + | - | - | - |
| 480 | 3.0 | - | + | - | - |
| 580—600 | 5.0 | + | (+) | - | - |
| 480—510 | 0.5 | - | + | - | - |
| 580—600 | 0.5 | - | + | - | + |
| 490—520 | 0.5 | - | + | - | - |
| 620以下 | 0.5 | (+) | + | - | - |
| 550以下 | 自15至50 | - | - | + | - |
| 600以下 | 自15至50 | - | - | + | (+) |
| 600以下 | 0.1绝对压力 | + | + | - | - |
| 250以下 | 60以下 | - | + | - | + |
| { 180—200 | 60以下 | + | - | - | - |
| { 180—200 | 160 | - | - | - | + |
| { 180—200 | 5—12 | + | - | - | - |
| 300—350 | 200—300 | - | - | - | + |
| 150—250 | 15—40 | (+) | - | - | - |
| 0+10 | 自1至6 | + | - | - | - |
| - | 30 | - | - | - | - |
| 900 | 0 | + | - | - | - |
| 500 | 自0至12 | + | - | - | (+) |
| { 180—200 | 0 | + | - | - | - |
| { 250以下 | 12 | + | - | - | - |
| >250 | 自30 | - | + | - | (+) |
| 400 | 300 | + | - | - | + |
| 420—440 | 300 | - | - | - | + |
| 480 | 自300至700 | - | - | - | + |
| 480以下 | 自300至700 | - | - | - | - |

主要方法配合使用。

承柱下計算。

轉為正值或者相反。在此種過程的實例中，有在高溫下使用 $\text{MoO}_3 + \text{Al}_2\text{O}_3$ 之臨氫改質（圖 70），顯然，催化裂化、熱裂化及其他過程也可屬於這一類。

在圖 69 及圖 70 中所示的總合熱效應曲線，相應於等溫操作的理論條件。若反應區內溫度的分佈不均勻，顯然，這些曲

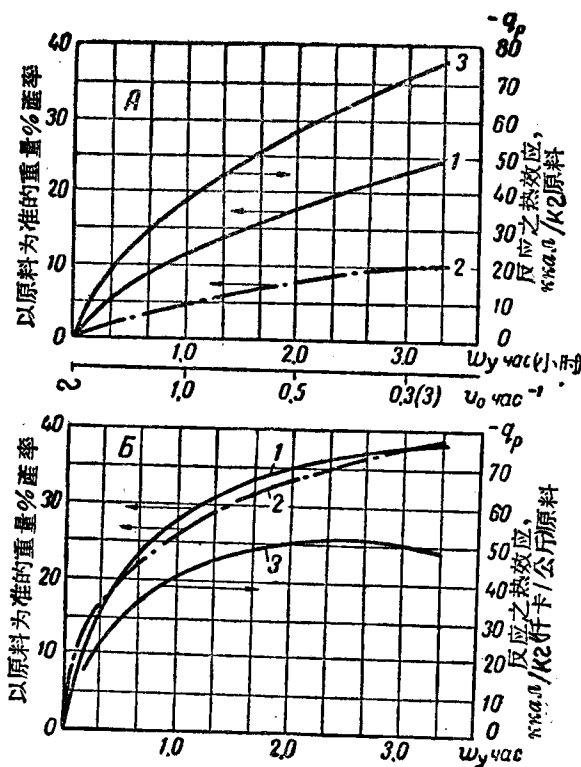


圖 70 汽油(含环烷50%)臨氫改質的热效应(根据阿·阿·伏义荐霍夫及德·伊·奥罗奇柯[289])
 A— $t = 500^\circ\text{C}$ 及 $P = 20$ 表压; B— $t = 550^\circ\text{C}$ 及 $P = 20$ 表压;
 1—芳香烃之產率; 2—气体之產率; 3—反应之热效应。

線應視新的轉變速度以及過程最終產物產率間之關係而相應改變。

在選定換熱方案及熱載劑以控制反應設備中的溫度條件時，必須考慮到釋出及吸收反應熱時的上述特點。

2. 反應區內的連續換熱

鑑於等溫條件是許多過程最適宜的條件，因此，應首先討論能使之實現的條件。只有在下列理論上的極限場合，才能達到反應區內理想的溫度恒定：(1)反應混合物及熱載劑間的溫度差極小(趨近於零)；(2)熱載劑各點的溫度相同；(3)總傳熱系數極大($K_{06} \rightarrow \infty$)及(4)換熱面也極大($F_y \rightarrow \infty$)。

保證高的傳熱系數最為困難，因為必須首先找尋增加表面及反應介質間以及自壁至熱載劑的部分傳熱系數的方法。就氣體介質而言，通常不能圓滿地解決這一問題。欲在單位反應空間中裝設大量換熱面也是困難的。解決前面的那二個問題(指溫度差及熱載劑的溫度——譯者)比較簡單，但這也僅對低溫過程的條件而言，因為在低溫過程中可採用沸騰液體及凝縮蒸氣(見表19)。在高的操作溫度下，不能保持熱載劑的恒溫，因為必須採用氣體熱載劑或其他熱載劑，而其比熱較小。在此種條件下，若欲趨近於 $t = \text{常數}$ ，則必須採用大量的熱載體。

前面已經講到過，反應熱的釋出或吸收是不均勻的，因此在所有場合，欲在反應區內達到理想換熱是複雜的。欲使過程等溫，則在反應最激烈的區域必須十分激烈地進行換熱，而在過程速度緩和的區域，換熱亦應緩和。實際上這是難以實現的。

反應介質及催化劑之熱阻也引起很大的複雜性，此種熱阻往往很大，因其熱傳導率不大。在進行放熱過程時，這一問題具有特別重大的意義[36, 181, 181a, 182, 183, 184]。將上列諸

困难加以綜合后便可作出下面的結論：在直流式作業中实际上不能达到等温条件，而在反应区内，温度总有多变操作所固有的某些波动。因此，等温条件只能認為是一种理論上的标准，用以評价其他較易的單向过程操作方法的效率。

在可逆放热反应中，關於遵守最適宜的温度条件問題也並不簡單。此处对热載剂的要求是相应地改变了。沸騰液体及凝縮蒸汽已失去其意义，因为热载体的温度必須經常改变，在規定的温度分佈及放热分佈下以及已知的傳热系数下，此种改变必須嚴格地符合每一个反应区内之换热条件。此处比换热面之大小宜为变数，但是从实际的角度上來看，这是十分不便的。

沿反应物的流动方向上，反应热的放出及吸入極其不均匀，这就使选择热载体、换热方案及各种構造的問題大为複雜化，总之，这种不均匀性使这个問題無法解决。

因此，在反应区内直接採用表面换热的方法，实际上不能保証理論上最適宜的温度分佈，而只能根据具体条件，在某种程度上可能接近於标准条件。

3. 固态热载体之应用

反应設備中控制温度的有趣方法之一是使用固态热载体的連續换热。在化学實踐中，这个方法早已被人知道，但只有近年来(在第二次世界大战期間)，这个方法才獲得廣泛的应用。使用固态热载体系統的最簡單的例子是根据作業蓄热原則的克魯謝里式气体發生爐[247, 248, 249]，此种爐子用於石油產品的高温热解[236]。克魯謝爾設備中的蓄热用填料，系用耐火材料制成。

在战争的年代里，烏特利拟訂丁烷催化脫氫工厂系統的时候以及后来拟訂丁烷裂化的“絕热”方案时，都曾应用了这种原理流程。这种系統中的一部分蓄热剂就是催化剂本身，其中添

加不同体積比例的化学穩定的固态顆粒。

進一步發展便建立了一系列使用移动床粒狀及粉狀催化剂-热载体的系統。

填充固态固定式热载体的設備空間之利用率，与热载体（填料）的比重、比热、热傳導率、粒度及其几何形狀有关。其缺点是各塊磚、管件或顆粒之受热不均，这是因为通常所用蓄热物料的热傳導率較低，因此，應該尽可能降低每塊填料之厚度及自由孔道的間隔。在这种条件下，热载体的重量加料相同时，固态物受热的不均匀性自应減輕，同时以反应器-再生器單位空間为基准的换热面自应增大。

填料孔道寬度及填料磚厚度之影响
(按特陵克斯[290])

表 21

| 孔道尺寸 公尺 | 磚塊厚度 公尺 | 塊之截面 (包括壁 在內) 公尺 ² | 塊之受热面 公尺 ² /公尺長 | 反應室之 受热面 公尺 ² /公尺 ³ | 固态物佔據 之空間 公尺 ³ /公尺 ³ | 設備中之自 由空間 公尺 ³ /公尺 ³ |
|------------|------------|--|-------------------------------|---|--|--|
| 0.089 | 0.032 | 0.0146 | 0.356 | 24.4 | 0.46 | 0.54 |
| 0.089 | 0.064 | 0.0234 | 0.356 | 15.2 | 0.66 | 0.34 |
| 0.114 | 0.032 | 0.0213 | 0.456 | 21.4 | 0.39 | 0.61 |
| 0.114 | 0.064 | 0.0319 | 0.456 | 14.3 | 0.585 | 0.415 |
| 0.140 | 0.32 | 0.0296 | 0.560 | 18.9 | 0.34 | 0.66 |
| 0.140 | 0.64 | 0.0416 | 0.560 | 13.5 | 0.53 | 0.47 |

表 21 說明粗填料塊徑改变之影响。

石油產品高温热解气体發生爐中，通常填入磚塊或塊徑較大的特种填料。丁烷催化脫氫反应器及其他切換-循环过程的反应器中則裝以餅狀催化剂，其中混入熔制而成的蓄热用惰性物料(粒度約 4—6 公厘)。

在使用 TCC 式移动床催化剂的系統中，粒度稍小，但大致还相差不大，約 2.5—5.0 公厘。

流化床催化剂之颗粒則極細，它們能通过 250 孔的篩網，各粒之平均直徑約 50 微米[291]。近年來开始採用較粗的粉粒，它們能通过 100 孔的篩網，相當於 $d_{cp} \cong 0.15$ 公厘，在个别場合下应用相当小的球形颗粒，其直徑約為 0.35—0.5 公厘。

隨着固体热载体粉粒度之增加，以單位体積原始物料为基准的颗粒数目及換熱面，按下列方程式而顯著增加：

$$n = 1.91 \times 10^9 \times d^{-1}, \quad (3,2,1)$$

$$F_y = 6 \times 10^3 \times d^{-1}, \quad (3,2,2)$$

式中 n ——粉碎 1 公尺³ 原始物料所得的颗粒数(假設颗粒呈球形)； d ——颗粒之直徑(公厘)； F_y ——各颗粒之总表面積(公尺²/公尺³)。

为清楚地說明起見，在圖 71 上表示了物料粉碎度對於比(單位)換熱面的增加的影响。在实际条件下，颗粒的形狀与球形有某些差別，因此实际表面積將永远超过計算所得之数值。根据格罗斯及棲密尔里的觀察[292]，用石英鍍銀 的方法 算得的校正系数，對於不同的石英粉碎度而言，平均約等於 2。

当粒度为 4—6 公厘时(特別是粉狀催化剂)，固态粒狀热载体之表面積極大，因而对換熱条件及整个系統的操作起有利的影响。正如計算(第二章 § 8 之 3)所示，当反应物料与催化剂-热载体接触时，發生如此强烈的換熱，乃至其温度几乎立即拉平，反应器各区的温度彼此之間基本上沒有差別。

蓄热式操作的特征是：不論沿設備的長度，或在任何規定的瞬間，溫度是不斷改变的(見圖58)。与循环運轉的方案不同，採用固态移动床热载体时，反应器中确立一定的溫度分佈，形式上乃相應於热效应較小(与全部反应热相較)的过程的絕热条件。此时可建立通常放热过程所特有的吸热过程条件，相反地亦可建立通常吸热过程所特有的放热过程条件。在第二章 § 8 之 3 中已經說明，在这种条件下，具有決定性意义的是：(1)

固态热载体流与反应物流总热容量(或称为水值)間之关系,

(2)选用的流动方案及(3)设备中之水力学条件。

粒狀物料与原料逆流时十分独特, 此时只当進行換热的物流間之水值不等时, 才能确立固定条件。

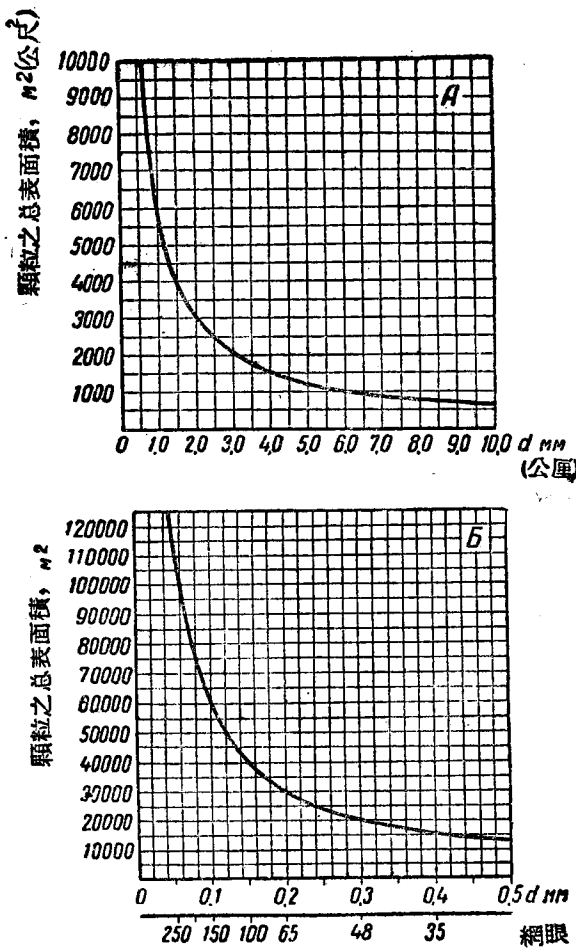


圖 71 顆粒之總面積, 公尺²/公尺³ 粉碎物料
A—顆粒之表面積; B—粉狀物粒之表面積。

逆流时反应区内的温度，可由下列(2,8,24)关系式表示：

$$\Delta_{B,B} t_{ad} = \frac{Q_p}{W_n - W_r},$$

式中 $\Delta_{B,B} t_{ad}$ ——形式上类似于絕热条件的温度差； Q_p ——系統中总共吸收或放出的反应热； W_n ——反应混合物之水值($\Sigma G_n C_n$)及 W_r ——固态热载体之水值($\Sigma G_r C_r$)。

上式表明，只当 $W_r > 2W_n$ 的时候，固态物料才起热载体的作用，而且在这种条件下， Δt 前之符号应於真絕热过程时的相反。換句話說，在逆流方案中，当固体热载体供給反应热时，吸热过程中温度將上昇；而当热载体排除反应热时，放热过程中温度隨着轉变率之增大而降低，这种現象通常是吸热过程所固有的。

当数值 $W_r < 2W_n$ 时，逆流作業中固态热载体起有害的作用，因为在此种条件下，反应区内之温度差並不減小而有害地增大。

必須指出，在 TCC 式催化裂化的逆流作業中，通常 W_n 顯著地超过 W_r ，因此，移动床催化剂不能作热载体。在这种条件下，使用移动床催化剂只能解决下列的化学-工藝問題：使反应設備中操作条件穩定(这具有十分重要的意义)以及維持催化剂的活性在相同的水平上①。

在並流式換热中，关系較为簡單。任何用量的固态热载体皆可降低反应区内的温度差，这个温度差可表示如下式 (2,8,23)：

$$\Delta_A t_{ad} = \frac{Q_p}{W_n + W_r}.$$

在使用流化床催化剂的系統中，通常催化剂与反应物平行

①为使活性穩定起見，通常不断導入若干新的催化剂[293]。